



УДК 577.214.625.087.1

СТАТИСТИЧЕСКОЕ ИССЛЕДОВАНИЕ НУКЛЕОТИДНОЙ
ПОСЛЕДОВАТЕЛЬНОСТИ ПРОКАРИОТИЧЕСКОГО ПРОМОТОРА.
ЭЛЕМЕНТЫ СТРУКТУРЫ, ОПРЕДЕЛЯЮЩИЕ ЭФФЕКТИВНОСТЬ
ПРОТЕКАНИЯ ЭТАПОВ НАЧАЛА ТРАНСКРИПЦИИ

Артемьев И. В., Васильев Г. В., Гуревич А. И.

Институт биоорганической химии им. М. М. Шемякина
Академии наук СССР, Москва

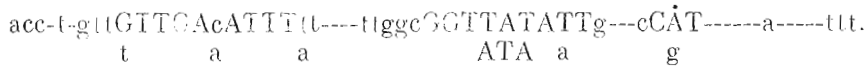
Статистическими методами с помощью ЭВМ изучены нуклеотидные последовательности 188 участков ДНК, содержащих промоторы. Найдено, что характерной особенностью обобщенных структур промоторов является наличие ундекануклеотида NTT(G/C)TTGACA(A/T) или (G/C)TT(G/C)A(G/C)A(A/T)TT(G/T) (сайт узнавания) и гептануклеотида RTATATR или TATAATR (сайт инициации), между которыми находится участок в 12–19 п.о. Промоторы способны функционировать, если достигается минимальный уровень соответствия имеющихся у них сайтов узнавания и инициации обобщенным структурам (значение функции соответствия общей структуры не ниже 0,61; в наиболее эффективных промоторах эта величина достигает 1). Старт транскрипции находится на расстоянии 3–9 пар оснований за сайтом инициации (наиболее эффективный старт на расстоянии 4–7 пар оснований). Транскрипция может начинаться с любого нуклеотида, но предпочтительно с А или G, причем старт с А наиболее эффективен, если это звено входит в состав тринуклеотида CAT или SAC.

Эффективность промотора увеличиваются дополнительные структурные факторы: протяженный А·Т-богатый участок непосредственно перед сайтом узнавания; целые промоторные структуры или несколько участков связывания РНК-полимеразы в предшествующей нуклеотидной последовательности. Характерной особенностью промотора является наличие элементов симметрии второго порядка в районах старта и сайта узнавания, а также в промежуточном участке между сайтами узнавания и инициации или же А·Т-богатого участка в последнем районе.

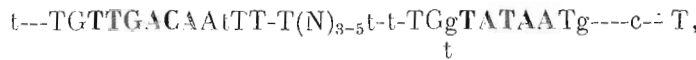
В нуклеотидной последовательности промотора содержится необходимая информация, определяющая точку старта и эффективность транскрипции РНК-полимеразой. Среди прокариотических промоторов наиболее изучены промоторы РНК-полимеразы *E. coli*. Их структура охватывает 50–80 п.о., что согласуется с размерами фермента (РНК-полимеразы), взаимодействующего с промотором, возможно, в двух положениях — в участке связывания (узнавания) и, после перемещения, в участке инициации транскрипции [1]. В этой структуре можно выделить три района с характерной (до некоторой степени) нуклеотидной последовательностью: 1) вблизи старта транскрипции, начинающейся обычно с остатка А или G (значительно реже с C) [1, 2] (здесь и далее приведены нуклеотиды той цепи ДНК, которая после точки старта идентична образующейся РНК); 2) гептануклеотидная последовательность за 5–7 п.о. до старта (последовательность Прибоу [3], TATRATR); 3) 10–15 п.о., расположенных приблизительно за 25–40 п.о. до старта (последовательность Гильберта [2], TGTTG, или Шаллера [4], GTTGACACTTAA). Третий район соответствует участку связывания (узнавания).

Ранее неоднократно делались попытки суммировать структуру различных районов промотора в обобщенной нуклеотидной последовательности. Шерер и др. вывели структуру «идеального» промотора [5] на основе статистической обработки данных по 17 промоторам, исходя из вероятности нахождения того или иного нуклеотида на определенном расстоянии от старта транскрипции*:

* В приведенных обобщенных последовательностях обозначения строчными, прописными или прописными буквами жирным шрифтом даны в соответствии с возрастающей вероятностью нахождения соответствующих нуклеотидов в данном положении относительно старта транскрипции (отмечен точкой).

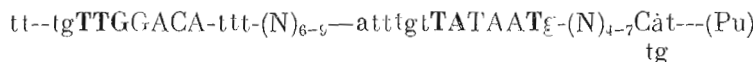


Несколько иная обобщенная структура промотора была предложена Зибенлистом [6] *:

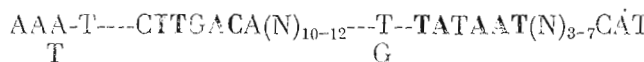


Он отметил, что расстояние между районами более строгого соответствия (последовательностями Гилберта и Прибоу) может колебаться.

Увеличение числа структур промоторов, подвергнутых статистическому анализу, до 46 привело Розенберга и Курта [7] к еще менее определенной обобщенной последовательности:



Наконец, Зибенлист, Симпсон и Гилберт пришли к выводу, что обобщенный промотор имеет следующую структуру [8]:



При этом на примере двух промоторов (генов *lac UV5* *E. coli* и А3 фага T7) они экспериментально показали (см. также работы [9, 10]) наличие контактов между РНК-полимеразой и участками промотора в районе последовательности Гилберта, в районе «—16» (находящемся на расстоянии 21 п.о., т. е. двух витков двойной В-спирали от последовательности Гилберта и, следовательно, расположенным на той же стороне спирали), а также в районе последовательности Прибоу и в районе старта транскрипции, между которыми две нити ДНК оказались разделенными.

В то же время очевидно, что в структурах промоторов кроме элементов сходства, обеспечивающих узнавание этих участков ДНК РНК-полимеразой, должны существовать различия, которые обусловливают различную эффективность старта транскрипции. Действительно, сила промоторов, определяемая по скорости реакции взаимодействия с РНК-полимеразой, может различаться на 3 порядка [11], и это, вероятно, коррелирует с реальной эффективностью транскрипции соответствующих генов.

Считая необходимым учитывать при получении обобщенной структуры промотора критерий его эффективности (силы), мы провели статистический анализ известных нуклеотидных последовательностей промоторов, разбив их на группы в соответствии с этим критерием.

Известно, что транскрипция ранних генов бактериофагов, а также генов РНК, участвующих в репликации плазмид, протекает много эффективнее, чем транскрипция генов бактериальных белков (см., например, работы [11, 12, 13]). В бактериальной хромосоме к числу наиболее активно транскрибуемых относятся гены рибосомных белков и в особенности гены рибосомных РНК [14]. Поэтому в первую группу мы включили промотор гена РНК, участвующей в репликации плазмид Col E1 и pBR322, промоторы ранних генов фагов T5 и T7 и промоторы генов рибосомных РНК *E. coli* как наиболее сильные из описанных. Ко второй группе мы отнесли сильные промоторы фагов λ , λ_{im} , 434, ϕ 29, а также малых бактериофагов fd, f1, M13, ϕ X174, G4 и рибосомных белков *E. coli*, к третьей — промоторы поздних генов бактериофагов и различных белков *E. coli* и плазмид, к четвертой — структуры слабых промоторов генов *E. coli*, а также промоторов, эффективность которых существенно снижена в результате мутационных изменений, к пятой — структуры, напоминающие промоторные, но с неизвестной функциональной активностью. В шестую группу были объединены структуры тех промоторов, которые в результате делеций или иных изменений утратили способность к инициации транскрипции.

Такое условное деление, как показал дальнейший анализ, в основном совпало с делением на группы по структурным признакам. Однако при наличии в структуре какого-либо отдельного промотора особенностей, характерных для промоторов другой группы, мы считали возможным перемещать структуры из одной группы в другую. Приведенная в таблицах группировка промоторов отражает этот подход.

При анализе нуклеотидных последовательностей промоторов мы исходили из определения, что в каждой группе промоторов должны быть участки узнавания (связывания) и образования комплекса (закрытого), образования открытого комплекса и инициации транскрипции, а также (за точкой старта) участок диссоциации σ-субъединицы РНК-полимеразы. В промоторах различной эффективности эти участки могут различаться как по положению (расстояние от точки старта транскрипции), так и по нуклеотидной последовательности. В соответствии с этим в качестве первого критерия общности нуклеотидных последовательностей промоторов мы изучили подобие участков, находящихся на примерно одинаковом расстоянии от старта транскрипции с теми, для которых экспериментально установлены [8–10] контакты с РНК-полимеразой в закрытом и открытом комплексах (районы от –5 до –15, от –15 до –20, от –25 до –40).

В качестве второго критерия мы использовали распределение в промоторах и в предшествующих им последовательностях А·Т-богатых участков, поскольку экспериментально показано, что РНК-полимераза предпочтительно связывается с легкоплавкими районами ДНК *E. coli*, колифагов и плазмид [15].

Исходя из предположения, что обратные повторы (палиндромы) вблизи старта транскрипции могут облегчать образование и стабилизировать открытые комплексы с расплетенными участками двойной спирали, мы ввели третий критерий и изучили распределение в структуре промоторов и прилежащих к ним участков ДНК элементов симметрии второго порядка.

Наконец, мы изучили расположение в структуре ДНК, предшествующей промотору, дополнительных промоторов или участков связывания РНК-полимеразы, подобных частям промотора.

1. Подобие участков нуклеотидных последовательностей промотора

При получении обобщенных структур промоторов был использован принцип максимальной вероятности в итерационном процессе получения оптимальной структуры.

Структурное подобие было исследовано в двух районах: между нуклеотидами –15 и –4, а также между нуклеотидами –50 и –30. При получении обобщенной структуры мы использовали промоторы первых двух групп, считая, что среди сильных промоторов лучше проявится соответствие в исследуемых районах обобщенным структурам. Анализ показал возможность выбора начального приближения как совокупности двух гептапуклеотидов в первом районе и двух ундекапуклеотидов во втором изучаемом районе. На основе анализа вычисленной функции соответствия для двух указанных районов автоматически с помощью ЭВМ были выделены сайты узнавания и инициации. В случаях неоднозначности нуклеотидов на конкретных местах в начальном приближении уточнение нуклеотидной структуры обобщенного промотора было получено на основании принципа максимальной вероятности.

В районе между нуклеотидами –15 и –4 получен образ, состоящий из двух близких к гептапуклеотиду Прибоу обобщенных структур сайта инициации: RTATATR или TATAATR. Среднее значение функции соответствия в этом районе в первой группе промоторов –0,87, во второй группе – 0,80.

Во втором районе получен образ, состоящий из двух близких к последовательности Гилберта обобщенных структур сайта узнавания: NTT(G/C)TTGACA(A/T) и (G/C)TT(G/C)A(G/C)A(A/T)TT(G/T). При

Таблица 1

Параметры функции соответствия
 P — среднее значение, D — дисперсия

Номер группы	Сайт инициации		Сайт узнавания		Суммарная структура	
	P	D	P	D	P	D
1	0,87	0,12	0,73	0,09	0,79	0,05
2	0,80	0,12	0,79	0,11	0,79	0,07
3	0,76	0,12	0,71	0,10	0,73	0,07
4	0,69	0,09	0,71	0,10	0,70	0,06
5	0,69	0,17	0,67	0,14	0,68	0,04
6	0,66	0,07	0,69	0,04	0,68	0,05

этом среднее значение функции соответствия в этом районе в первой группе промоторов — 0,73, во второй группе — 0,79. Эти две удекануклеотидные последовательности являются как бы частями одного тридекануклеотида: TT(G/C)TT(G/C)A(G/C)A(A/T)TT(G/T).

В изученных нуклеотидных последовательностях участки с высоким значением функции соответствия полученным обобщенным структурами были обнаружены неоднократно, иногда они накладывались друг на друга, и для отбора единой обобщенной структуры промотора мы ввели ограничение длины участка, разделяющего сайты узнавания и инициации, отбросив варианты со слишком близко и слишком далеко расположеннымными друг от друга сайтами. В промоторах первых двух групп минимальная длина промежуточного участка в результате составила 12 п.о., максимальная — 19 п.о. В этих промежуточных участках не было найдено района какого-либо подобия, и, следовательно, экспериментально обнаруженные контакты с РНК-полимеразой в этом районе, по-видимому, не связаны с непосредственным «узнаванием» нуклеотидной последовательности.

Значение функции соответствия суммарного промоторного участка по первой группе промоторов — 0,79, по второй группе промоторов — 0,79.

Незначительное сходство в нуклеотидных последовательностях отмечалось вблизи точки старта транскрипции. Почти у всех промоторов первой группы стартовым нуклеотидом является А (90%), и ему предшествует С (76%), а за А в большинстве случаев следует Т или С. Лишь в двух промоторах (1.7 и 1.9)* С предшествует стартовому нуклеотиду G. При этом участок между точкой старта и сайтом инициации включает 3—8 п.о. и в большинстве случаев — 4—7 п.о. Для пяти промоторов gmpP2 (1.14—1.18) с длиной промежуточного участка 3—4 нуклеотида ранее было найдено, что транскрипция начинается с А в значительно меньшей степени, чем с лежащего на два нуклеотида дальше С или с лежащего еще далее G [16]. По-видимому, для эффективного старта транскрипции длина промежуточного участка должна быть более 4 п.о.

Стартовым нуклеотидом большинства промоторов второй группы является G (64%), и ему, как правило, предшествует С или G. У некоторых промоторов (2.2, 2.5, 2.6, 2.8, 2.9, 2.19, 2.21, 2.23, 2.24, 2.25, 2.31) транскрипция, как и в случае промоторов первой группы, начинается с А, которому, однако, предшествует не С, а G или T. Наконец, в одном промоторе (2.22) стартовым нуклеотидом является T.

В промоторах третьей и четвертой групп транскрипция начинается с самых разнообразных нуклеотидов, хотя преимущественный старт с нуклеотидами А или G наблюдается и здесь. В третьей группе (в отличие от первых двух групп) имеются лишь четыре промотора, в которых стартовый нуклеотид А входит в состав тринуклеотида CAT (в четвертой группе такие промоторы вообще отсутствуют); следует отметить, что эти промоторы (3.14, 3.18, 3.35, 3.53), по-видимому, наиболее сильные среди промоторов третьей группы, так как уровень соответствия суммарной обобщенной структуре в этой группе выше среднего показателя.

* Здесь и далее в обозначениях промоторов первая цифра указывает номер группы, а вторая — номер промотора в группе.

Таблица 2. Нуклеотидные последовательности промоторов группы 3.

Номер промото-ра	Название гена	TTGTCGACATTC С С Г Г Т	TATAATR RTAY	+1	B04381250	
1	T5 26	TTTCAAGTTGCTTAATCCAAATTCTTGA	TATAATA TTTCTC	AATAGTTGA	8, 13	
2	T5 25	TTTATTTCGCTT	TCAGGAAAATTCTTCTG	TATAATA GATTC	AATAATTTC	8, 13
3	T5 P28	GTAGTTGCTAA	ATGGCTTAATACCTGC	TATAATA TTAA	ATAAATTGA	13
4	T5 P207	ATTCATTTGCT	AAACGGCTTCAAATTCTCG	TATAATA TACTTC	ATAAAATTGA	13
5	T7 A0	GGCGITGACTT	GATGGGTCTTATAG	CCTGAGC CCTTGGGT	CTGGGCTT	17
6	T7 A1	AGTAATGACTT	AAAGTCTAAACCTATAGG	ATACCTA CAGCC	AUCGAGAGG	18, 19
7	T7 A2	GGTATTGACAA	CATGAAGTAACATGCGATTAACATCA	AAAC	GGTAGGTA	19
8	T7 A3	ACGGTTGACAA	CAI GAAGTAACACCG	TAACAG TACCC	ATGAAACCA	19
9	E.coli rrnD P1	CTTGTTGAAAAA	AAATGGGATCCC	TAIAATG CGCCCTCC	CTTGAGACG	20
10	E.coli rrnX P1	CCGCTTGTCTT	CTTGAGCCGACTCCC	TATAATG CGCCCTCC	ATCGACACG	20
11	E.coli rrnE P1	TTTTCTTCTATTGCGCGCTTCTTGAGACATTC	TTTAA	CGCCCTCC	ATCGACACG	21
12	E.coli rrnA P1	CCCTTTGTCAG	CCCGGAATAACCTCCC	TAIAATG CGCCACC	ATCGACACG	21
13	E.coli rrnB P1	CCCTCTTGTCTAG	CCCGGAATAACCTCCC	TAIAATG CGCC	ACCACTGAC	22, 23
14	E.coli rrnD P2	ATTCAAGGGGTGACCTGAAACAGGAAAGCGTAA	TTA	CGCC	ACCTCGGCA	20
15	E.coli rrnX P2	ATTCAAGGGGTGACCTGAAACAGGAAAGCGTAA	TTA	CGCC	ACCTCGGCA	20
16	E.coli rrnE P2	ATTCAAGGGGTGACCTGAAACAGGAAAGCGTAA	TTA	CGCC	ACCTCGGCA	21

17	E.coli rrnA P2	ATGCTTGACTC	TCTAGCGGGAAAGGCC	TATTATG CAC	ACCCCGCGC	21
18	E.coli rrnB P2	ATGCTTGACTC	TCTAGCGGGAAAGGCC	TATTATG CAC	ACCCCGCGC	22, 23
19	pBR322 P4	GTTCTTGAAGT	GGTGGCTAACATCGGC	TACACTA GAAGGAC	AGTAATTGG	12, 24
20	pRRN 2 p1	CTTCAAGAATTCCGATCCGGAAATAACCTCCCTATAATG	CGCC	ACCACTGAC	25	
21	pRRN 2 p2	ATGCTTGACTC	TCTAGCGGGAAAGGCC	TATTATG CAC	ACCCCGATC	25
22	pRRN 3 p1	CCCTCTTGTCTAG	CCCGGAATAACCTCCC	TATAATG CGCC	ACCACTGAC	25
23	pRRN 3 P2	ATGCTTGACTC	TCTAGCGGGAAAGGCC	TATTATG CAC	ACCGATCCG	25
24	Φ 29 P1	GTAGACAAACTATGTTAACATGTTATACTATAATA_GAAGT			AAGGTAAATA	26
25	Φ 29 P2	ATGTTTGACAA	CTTAACTACAGAGTATGC	TATAATG GTAGT	ATCAATGGT	26
26	λ PL-360	GTTGTTGACAT	AAAGACCACTGGCGGT	GATCATG AGCAC	ATCAGCAGG	27
27	λ PR	GTTGACTATTTTACCTCTGGCGGT		GATAATG GTTGC	ATGTAATAA	28
28	λ PL	GGTGTGACAT	AAATACCAACTGGCGGT	GATACTG AGCAC	ATCACCAGG	29
29	Tn3 R	TGAGTGTCCAT	TAATACGTATTCTTGC	CATAATA GACAC	ATCGTCTCT	30
30	pRRN4	ATGTTTGACAG	CTTATCATCGATAAGC	TTTAATG CGGT	AGTTTATCA	24
31	Col E1 I00 RNA	GTTCTTGAAGT	GGTGGCTAACATCGGC	TACACTA GAAGG	ACAGTATTT	31, 32

В табл. 2–7 приведены нуклеотидные последовательности промоторов (одна линия ДНК в направлении 5'→3'), в которых участки наибольшего соответствия сайtam узнавания и инициации расположены под изображенными сверху обобщенными структурами (R – остаток пурина); обозначено также положение точки старта транскрипции (+1). Элементы симметрии второго порядка подчеркнуты сходящимися стрелками. В некоторых случаях элементы симметрии включают участки за пределами приведенных в таблице последовательностей и соответственно они обозначены лишь частично (либо даже одной стрелкой).

Структуры сайтов инициации промоторов третьей группы хорошо соответствуют обобщенным структурам (среднее значение функции соответствия — 0,76), и длина участка между сайтом инициации и точкой старта лежит в пределах 3–9 п.о. У промоторов четвертой группы наблюдается меньшее подобие в этой области (для сайтов инициации среднее значение функции соответствия — 0,69). В районе сайта узнавания в обеих группах имеется достаточно высокое соответствие рассматриваемой обобщенной структуре (среднее значение функции узнавания в третьей и четвертой группах — 0,71). Среднее значение функции соответствия суммарного

Таблица 5. Нуклеотидные последовательности промоторов группы 2.

Номер промото-ра	Название гена	T G T G C A C A T T C G C G T T	TATAATR RTAT	+1	Литература
1	λ PO	GTTCACTATTTGCTGATTGT	CATAATC ACTCCT	GTTGATAGA	28
2	λ PRM RRL	CTGGTACAGAT TTATCCCTTCGGCTG	ATAGATT TAACGT	ATGAGGACA	33
3	λ 434 PO	GTTGAGTATTTGCTGATTGT	CATAATC ACTCCT	GTTGATAGA	34, 35
4	λ 434 PR	CTATTCGAA ACAAAGATACATGTAT	GAAATAA CAAGAAA	GTTGATGA	34, 35
5	ΦX174 A	AGGATTGACAC CCTCCCAATTGTATGT	TTTCATG CCTCC	AAATCTGG	36
6	ΦX174 B	ATAGCTTGCAA ATACCTGGCTTATGGT	TACAGTA TGCCC	ATGCCAGTT	36
7	XI74 D	GTTGACATTTAAAGAGCTGGATA	CTATCTG AGTCC	GATGCTGTT	36
8	G4 A	CITGACTAACTCAAACACAC	TCTAATA GCCTCCC	ATCAAACGG	37
9	G4 B	TAGUTGCCAA ACACGCGGCCATTGGT	TACTCTATG CCC	ATCGCAGTC	37
10	G4 D	ATGGTTGACAT ACIGAAAAGACCTGGCC	TATAATC CACATC	GTCAACTGA	37
11	fd X	TTTGTGCAAT TCGCTTGGCTCIGAC	TATAATA GACAG	GTTAAAGAC	38, 39
12	fd II	GTTGACATTTAAATTTGCTTA	TACAAAC ATCCT	GTTTGGG	38, 39
13	fd VIII	GTTGACATTTGTTGCGCGCTGG	TATAATC GCTGG	GGGTCAAAC	38, 39
14	M13 X	TTGATGCAAT CGCGTTGCTCIGAC	TATAATA GTCAAG	GGTAAACAC	39, 40
15	M13 II	GTTGACATTTAAATATTGCTTA	TACAAATC TTCT	GTTTTGGG	39, 40
16	M13 VIII	GTTGACATTTGTTGCGCGCTGG	TATAATC GCTGG	GGGTCAAAG	39, 40

17	M13-RNA	TTTCATGAGGA ACTTTCCATTAAACGGG	TAAATA CGTAAT	GCCACTACG	8, 40
18	pBR322 P3	ATTCAAATATGATCCGCTCATGA	GACAAATA ACCCT	GATAATGC	24
19	pBR322mp3	CTTGTGCAAT TTTCAGCTGGGGT	TATAATC GTACC	ATTATAGCT	41
20	Tn3 A	GAACCGGTTCGACTATGCTGATAATT	TATAATA TTC	GAACGGTTG	50
21	SV40	TTTGTGTTAA CTGTTTATGCGAC	TATAATC TTACA	AATAAAGCA	8
22	E.coli ompA	GTTCACACTTGTAAGTTTCAAC	TACGTTG TAGAC	TTTACATCG	42
23	E.coli lacUV5	CTTTACACTTTATGCTCCGGCTCG	TATAATG TGTGG	AATTGAG	8, 15
24	T.coli lacPSA	CTTACACTTTATGCTCCGGCTC	GTATATT GTGTGG	AATTGTGAG	43
25	E.coli lacPR1A	CTTACACTTTATGCTCCGGATC	GTAATGT GTGTGG	AATTGTGAG	43, 44
26	E.coli lpp	ATTCTCAACAT AAAAACATTGTTA	ATACITG TAAC	GCTACATGG	45
27	E.amylovora lpp	TTTATTCCTCT TAGAAAAAACTTTG	TGTAATA CTTGTAAC	GCTACATGG	46
28	S.marcescens lpp	ATTATTCCTCT TCGAAAAAACTTTG	TGTAATA CTTGTAAC	GCTACATGG	46
29	E.coli tRNA Tyr	CGTAAACCTTACAGCGCGCGTCAATTGATATGATC	CCCCC	GCTTCCGA	47
30	E.coli tRNA Leu	ACTATTGACCA AAAGCTGAAACAC	TAGAAATG CCCCTCC	GTGGTAGCA	48
31	E.coli UVRB	TTTGTGGCAT ATTAAGTAGGAC	GAGTAA ATTAC	ATACCTGCC	49
32	pNO615	TTTCTTGCATA GTTGGGTGAGCTGGC	TAGATTA GCCA	GCCAATCTT	50
33	pNO615	TTTCTTGCATA GTTGGGTGAGCTGGC	TAGATTA GCCA	GCCAATCTT	50
34	f1 X	TTTGATGCAAT CCGCTTGGCTCTGAC	TATAATA GTCTG	GGTAAAGAC	39, 40
35	f1 II	GTTTACAAATTAAATATTGCTTA	TACAAATC TTCT	GTTTTGGG	39, 40
36	f1 VIII	GTTGACTTGTGTTGCGCGCTGG	TATAATC GCTGG	GGGTCAAAG	39, 40
37	E.coli lacIQ1	TACGTTGACAC CACCTTCACTGATGG	CAAGATA GGCCC	GGAAAGAGAG	51

участка в третьей группе — 0,73, в четвертой группе — 0,70 (см. табл. 4). Длина промежуточного участка между сайтами узнавания и инициации 12–19 п.о.

Таким образом, представляется вероятным, что все промоторы, независимо от их силы, должны обладать характерной структурой сайтов узнавания (со значением функции соответствия указанной обобщенной структуре (не ниже 0,55) и инициации (со значением функции соответствия не ниже 0,57) с ограниченным в пределах 12–19 п.о. промежуточным участком. Значение функции соответствия суммарной структуры должно быть не менее 0,61.

Таблица 4. Буклеотидные последовательности промоторов группы 3.

Номер промото-ра	Название гена	TTGTTGACAATIG C C G T T	TATAATR RTAT	+1	Литература
1	fd IV	ATTCACTATTGACTCTTCAGCGTCTTA <u>A</u> TCTAAG CTATCGCT ATGTTTCA			38, 59
2	M13 IV	ATTCACTATTGACTCTTCAGCGTCTTA <u>A</u> TCTAAG CTATCGCT ATGTTTCA			39, 40
3	M13 II*	CTACACATTACTCAGGCCATTGCATT	<u>T</u> AAALATA TATGAG	<u>G</u> GTTCATAA	39, 40
4	λ C17	TTTATTGCA T AGATTCAATCAATTGT	TATAATT GTTAT	CTAAGGAAA	52, 53
5	λ PRM	<u>G</u> TGTTAGAT A TTATCCCTGCGGTG	ATAGATT TAACG I	ATGAGGACA	54
6	λ PRM IIb	GTAAATAATTTATCCCTGCGGTG	ATAGATT TAACG T	ATGAGGACA	53, 54
7	λ PR*	GATATGACTT <u>A</u> TGAAATAAATTGG	CTAAATT TGACTCA	AGGATGGGT	8
8	λ PE	TTTGTGCGAC <u>G</u> AACCATATGTAA	GTATTC CTT	AGATAACAA	28, 53
9	λ PE 3001	TTTGTGCGAC <u>G</u> AACCATATGTAA	GTATTC CTT	AGATAACAA	28, 53
10	λ PE 3008	TTTGTGCGAC <u>G</u> AACCATATGTAA	GTATTC CTT	AGATAACAA	28, 53
11	λ PE 844	TCTGTGCGAC <u>G</u> AACCATATGTAA	GTATTC CTT	AGATAACAA	28, 53
12	λ PE 42	TTTGTGCGAC <u>G</u> AACCATATGTAA	GTATTC CTT	AGATAACAA	28, 53
13	λ PE 3003	TTTGTGACAC <u>G</u> AACCATATGTAA	GTATTC CTT	AGATAACAA	28, 53
14	λ PL-230	GGTGTGACAT AAAGACCACTGGCGGT	<u>G</u> ATCATG ACCAC	ATCAGCAGG	27
15	λ PX	CAAATTGTAA <u>G</u> CAATGCTTTT	TATAATG CCAA	CTTAGTATA	23
16	pBR322 P1	GTGCGCTGACTG CGTTAGCAATT I AAC	TGTGATA AACTACCGCATTAAGC I		12, 24

17	pBR322 tet	ATGTTGACAG <u>C</u> TATCAACATAAGC	TTAAATG CGGT	ACATTA T CA	12, 24
18	pBR322mp2	ATGTTGACAG <u>C</u> TATCAATCGATAAGC	TATAATG GTAC C	ATTAATAGCT	41
19	Col TI 5S RNA	<u>A</u> TTGCTAGGAC CAAACAAAGIAGA	TTATATG GCAT	AAATGGTT	56
20	Col EI 5S RNA	<u>A</u> TTGCTAGGAC CAAACAAAGTAGA	TTATATG GCATAAA F GGTTTAA T		56
21	pSC101 tet	ATGTTGACAG CTTATCAACATAAGC	TTAAATG CGGT A	GTTTATCAC	57
22	TN905 EM R	TCTCTGATGTTACATTCGACAACTAA A	AAATATA TCATCATG AACAAATAA		58
23	E.coli lac	CTTTACACTTATGCTTCGGCIC	GTATGTT CTGTCG	AAATG T GA	13
24	E.coli rplKA	ATCGTTGACAC AGGCCGTGAGATG	GAATACA ATTTGGC	GGTTTGT	59
25	E.coli rplJL-rpoB	TGCCCTTACGT GGGCGGTGAI T TT	GTCTAC A ACCTTAC C CCCACGTAT		59
26	E.coli araBAD	<u>C</u> CTGACGCCCTTTATGCCAACTC	TCTACTG TTCTCC C ATACCGGTTT		8, 60, 61
27	E.coli recA	CTTGATACTGTTAGCA T ACAG	TATAAT T GCTTC A ACAGAACAT		62
28	E.coli spe	TTTCTTACCCAT ATGCTTGAACCCGTGT	TATAATG CGGC	GGCTCTGAT	63
29	E.coli str	TTTCTTGCACAC CTTTCGGCATCCCC	TTAAAT T CGGC	GTCTCTATA	63, 64
30	E.coli araC	<u>C</u> CTGACGCCCTTTATGCCAACTC	TCTACTA TTCTCC C ATACCGGTTT		60
31	E.coli rpsH-гров	TTTCTTGC A AA CTGGCTTGA G CTGGC	TTGAT A GA	GGCTAAT T	65
32	E.coli bioA	TTTCTTGC A AA CTGGCTTGA G CTGGC	TTGAT A GA	GGCTAAT T	8
33	E.coli araC	ATTATAGACAC TTTGCTTACCCGTTT	TGTCATG GCTT	GGTCCCGGT	4, 61
34	E.coli groH	<u>C</u> TTATGCAATTAGCTTAA T TTTGT	TATCAATG CAA A C	AUCGGGTAT	66
35	E.coli LexA	TTATGCTTCAAA AAATGGCTT T GGCT	GTATATA CTCACAGC ATAACTG A		67, 68, 69

То обстоятельство, что между уровнем соответствия двух сайтов обобщенным структурам и эффективностью промоторов не соблюдается строгой зависимости, указывает на наличие дополнительных факторов, влияние которых должно накладываться и изменять минимальный уровень транскрипции. К числу таких факторов, вероятно, относятся структура стартового триплектида от -1 до +2 и длина участка между сайтом инициации и точкой старта транскрипции.

Рассмотрение структур, лишенных промоторной активности (группа 6), показывает, что в этих случаях сильно снижен уровень соответствия идеализированным структурам возможных сайтов узнавания и инициации или (как в случае структур 6.2, 6.5) в промежуточном участке между возможными сайтами располагается вторая структура сайта узнавания с более

Таблица 4 (окончание)

36	Sh.dysent.rev.trp	GCTGTTGACAA	TTAATTAATCGAACAT	TAACTA	GTACGC	AAGTTCAGC	70
37	pBR322 PP	CTTCTTGAGAT	CCTTTTTTCTGCGCG	TAATCTG	CTGGTT	GCAAACAAA	12, 24
38	Col E1 imm	CCTCAAACTCGATCCATTATAAAA	TTGAAAAGAAATATA	TGGCGAG	GTTAAATT		50
39	T7 C	CAACTTGACGC	AATGTTAAATGGGCT	GAAGTC	TTATCTT	ACAGGTCAT	71
40	T7 T1'	CTACICATTACTCCGGCATTCATT	TAATAATA	TAATCAG	GGTTCATAA		58, 51
41	Tn3 bla	CTTATTTTAT	AGGTTAAATGTCATGAT	AAATATG	TTTCTTAGACGTCAGGI		30
42	E.coli trp	GCTGTTGACAA	TTAATCAATCGAACAT	TAACTA	GTACGC	AAGTTCAGC	72
43	S.typh.trp	GCTGTTGACAT	TATTCATCGAACAT	TAACTA	GTACGA	AAGTTCACA	72
44	E.coli bioB	CTTGTAAACCA	AATGAAAGATTAG	GTTCATA	AGTC	TACACCGAA	8
45	λCIN	ATGGATTGAAT	GTATGCAAATAAAT	GCATACA	CTATAGGT	CTGGTTAA	8
46	S.melan.trp	AGGGTTGACTT	TCGGCTTCGCGAACAG	TTAACAT	GTACAC	AAGTTCAGC	8
47	E.coli gal S2 P8-5	TGTCACACTTTCGCACTTCTGTTTGC	TATGGTT	TTTCA	TACCAATAAG		71
48	pBR322mpt1	GTTGTTGACAT	TTTAAAGCTTGGCAGG	TTTAAATG	CGGT	AGTTTAICA	41
49	E.coli tufB	GTCGGGATGTTGCTGGTTGATGT	GGTCATA	TCAUCC	AATTTATCG		74
50	E.coli thrU	TTTAGTTGCAAT	GAACTCGCACTCTCTCCA	TAGAAATG	CGCG	CTACTTGAT	74
51	E.coli trpR	TTACTGATCCGCACGTTATGATATGC	TATCGTA	CTCTTT	AGCGAGTAC		66
52	E.coli araC	AATGIGTACTT	TTCTGCCCTGATTTAGACACTTTTG	TTAC	CCGTTTTG		60, 61, 75

53	E.coli his	GTTCTTGCTTT	CTAACCGTGAAGTG	GTTT	AGGTTAAAGACATCAGTGA		76
54	E.coli phoA	ACAGCTGTCAT	AAAGTTGTCACGGCGCGAG	ACTTATA	GTCCCTT	TTTTTATT	77
55	T7 B	TCACCTTACAT	ATGAGGGAGTAAT	GTATATG	CTTACATCGGTCTACTC		17
56	S.typh.arac	GTTATAGACAC	TTCTGTTACTTAA	TTTATC	GCCTGAAC	TGTACGCTT	78
57	S.typh.arabAD	CCTGACGGCTTTGCCCCCACTC	TCTACTG	TTTCTCCATACCTGTTT			78
58	E.coli ssu-1	CGTAACACITIACAGCGGGCGTCATTGATAATGATG	CGCCCG		GTTCACCGA		79
59	E.coli ssu-2	CGTAACACITIACAGCGGGCGTCATTGATAATGATG	CGTTAA		GCTTCCCCA		79
60	E.coli ssu-3	CGTAACACITIACAGCGGGCGTCATTGATAATGATG	CGTTAA		GCTTCCCCA		79
61	E.coli ssu-4	CGTAAATTTCAGCGGGCGTCATTGATAATGATG	CGTTAA		GCTTCCCCA		79
62	E.coli atp	ATTGTTTCAA	TCACGGGGCCACCC	TATAATT	TGACC	GCCTTTTGA	80
63	E.coli rpsB P1	TTTCGCCAAC	GTGCCACTGAAGGTTTC	TATAATA	AAAA	AATTCACAT	81
64	pBR322 Ptet	ATGTTGACAG	CTTATCATCGATAAGC	TTTAAATG	CGGT	AGTTTATAA	82
65	λrexB	CAGGGGGCAA	AGTTAAGGTTAAT	TATCAGG	AGTTAATT	ATGCCGAAAC	83
66	E.coli rpsB P2	CGGCACATATTCCGGGGYGCCTTTGGG	CTGGCTA	ATATGGATAACGTGGAA			84
67	T7 IV	ATTCACATTGACATCTCTCTGCGCTTA	ATCTAAG	CTATCGGT	ATGTTTTC		59, 10
68	T7 T1'	CTACACATTACTCAGGGATTGCTT	TAATAATA	TAATGAG	GGTTCTAAA		59, 10
69	E.coli colicin EI P1	CTTGACAGGGAAAATGCAGGGGGCTA	GCTTTTA	TGCT	GTAAATAAA		84
70	E.coli colicin EI P2	ATGTTTAA	AGTCAAAAGGAGGATT	TATAATG	GAATAC	GGGTGAGG	84

высоким значением функции соответствия, чем первая. Последнее обстоятельство, вероятно, приводит к лучшему связыванию РНК-полимеразы с этим вторым участком и, как следствие, к существенному сокращению расстояния до сайта инициации, который поэтому не может функционировать.

2. Распределение А·Т-богатых участков

Распределение А·Т-пар в исследованных структурах было изучено с помощью программы DISTR. В этой программе за основу берется значение содержания А·Т-пар, вычисленное на отрезке ДНК длиной 10 п.о.

А·Т-богатыми мы считали те участки, в которых содержание А·Т-пар составляло не менее 70%. При этом оказалось, что в структуре самих промоторов А·Т-богатыми, как правило, являются лишь короткие участки в сайтах узнавания и инициации. Лишь в некоторых промоторах различ-

Таблица 5. Нуклеотидные последовательности промоторов группы 4.

Номер промото-ра	Название гена	TTGCTGACAATTG C C C T T	TATAATG RTAT	+1	Литература
1	fd V	AGATTTTCCCTCCAACGTCTGACTGG	TATAATG AGCCA	GTTCTTAA	38, 39
2	fd III	ATTACACCTCGA AAGCAAGCTGATAAACCGATAACAATT AAAGGC	TATAATG AGCCA	TCCCTTTGG	38, 39
3	M13 V	AGATTTTCITCCCAACGTCTGACTGG	TATAATG AGCCA	GTTCTTAA	39, 40
4	M13 III	ATTACACCTCGA AAGCAAGCTGATAAACCGATAACAATT AAAGGC	TATAATG AGCCA	TCCCTTTGG	39, 40
5	λ C17 SCS10	TTTATTGCAAT ACATTCATCAATTGTT	ATAAAATG TTAT	CTAAGGAA	52, 53
6	λ C17 SCS20	TTTATTGCAAT ACATTCATCAATTGTT	CTAATIG TTAT	CTAAGGAA	52, 53
7	λ PE 3019	TTTGTTGCCAC GAACCATATAAA	CTATTTG CTT	AGATAACAA	28, 55
8	λ PRM' 11	GTAAATATTATTCCTTGGGTG	ATAGATT TAACGT	ATGAGCAC	33, 54
9	λ P1	TTGCGTCAAT TGCGGAGACTTGGAT	GTACTTG ACACT	TCAGGAGTG	85
10	pBR313-H tet	TTTGACAGCTTATCATCGATAAGCTAGC	TTTATG CGTA	GTTTATCAC	57
11	E.coli gal S1	TGTCACACTTTGGCATTTTGT	TATGCTA TGGTTA	TTTCATACC	86
12	E.coli gal S2	TGTCACACTTTGGCATTTTGTATGC	TATGGTT ATTTC	TACCCATAAG	86
13	E.coli lac I	AATGGCCAAA ACCTTCCGGTATGG	CATGATA GGGCC	GGAAGAGAG	87
14	E.coli lac IQ	AATGGTCAAACCTTCCGGTATGG	CATGATA GGGCC	GGAAGAGAG	8, 87
15	E.coli LAC PIIS	CTTCGGCTCGTATGGTGTGG	TATTGTG AGGG	ATAACAAATT	8

16	E.coli lac L157	CTTAAACCTTATGCTTCCGGCTC	CTATGTT GTGTTG	AATTGTGAG	45	
17	E.coli lac L241	CTAACACCTTATGCTTCCGGCTC	CTATGTT GTGTTG	AATTGTGAG	45, 73	
18	E.coli lac L305	GTTCACACTTATGCTTCCGGCTC	CTATGTT GTGTTG	AATTGTGAG	43, 14	
19	E.coli str P105	TTTCTTGACAC CTTTCCGCATCCG	GCTAAAAA CTCGGC	GTCCTCTATA	88	
20	E.coli bio P98	GGTGTAACCTT	GTAAACCTTAAATCTTT	AAATTTG GTT	ACAAGTCGA	8
21	E.coli protein A	CTAATTAATAA ATAGTTAAATACGCTC	ATCATTG TACAATG	AACTGTACA	76	
22	pDOI trp M1	GGTGTGACAT TATTCATCGAACTAGT	TAACCTA GCCTG	CGCCGCCGT	89	
23	pDOI trp M11	GGTGTGACAT TATTCATCGAACTAGT	TAACCTA GCCTG	CGCCGCCGT	89	
24	Sh.dysent.trp	GCTGTTGACAA TTAAATATCGAACTAC	TTAACTA GTACGC	AAAGTCAGG	70	
25	E.coli lacIIC	CCTGGCGCTTTATCCGAACTC	TCTACTG TTTCCTCCATACCCGTTT	22		
26	pBRH3B tet	TTTGACACGCTTATCATCGATATGAAATC	TTTATG CGGTA	GTTTATCAC	51	
27	λ PE 2001	TTTGTTGCAAC	GAACCATATGTC	GTATTTG CTT	AGATAACAA	28, 55
28	λ PE 3048	TTTGTTGCAAC	GAACCATATGTA	GTACTTC GT	AGATAACAA	28, 55
29	f1 V	AGATTTTCITCCCAACGTCTGACTGG	TATAATG AGCCA	GTTCTTAA	39, 40	
30	f1 III	ATTACACCTCGA AAGCAAGCTGATAAACCGATAACAATT AAAGGC	TCCCTTTGG	39, 40		

ной эффективности (1.2, 1.3, 1.4, 1.29; 2.1, 2.12, 2.15, 2.28, 2.27; 3.4, 3.41; 4.5, 4.6, 4.7; 5.1) А·Т-богатые участки более протяжены и охватывают почти всю структуру промотора. В то же время почти у всех промоторов первой группы непосредственно перед сайтом узнавания имеется протяженный (15–25 п.о.) А·Т-богатый участок. Лишь в промоторах 1.7, 1.8, 1.19 такого участка не оказалось, а в промоторах 1.29, 1.30 А·Т-богатый участок отстоит от сайта узнавания больше чем на 20 п.о. Во второй группе промоторов аналогичный А·Т-богатый участок в большинстве случаев имеется у тех промоторов, в которых стартовым нуклеотидом является не А, а Г, С или Т; в противном случае А·Т-богатый участок либо невелик (2.2), либо отстоит от сайта узнавания больше чем на 20 п.о. (промоторы 2.24, 2.25, 2.23). Лишь в шести промоторах этой группы (2.11, 2.13, 2.14, 2.16, 2.20, 2.30) со стартовым нуклеотидом Г и в одном (2.22) со стартовым нуклеотидом Т перед сайтом узнавания имеются недостаточно протяженные А·Т-богатые участки. У подавляющего большинства промоторов третьей и четвертой групп в предпромоторной области отсутствуют совсем либо имеются лишь небольшие А·Т-богатые участки.

Таблица 6. Нуклеотидные последовательности промоторов группы 5.

Номер промото-ра	Название гена	TTGFTGACAATG С С Г Т	TATAATR РТАТ	Литература
1	fd VI	CATACTAATTCTTCTATTGATTGTGACA	AAATAAA CTTATTCGGTGC	38, 39
2	fd IV*	GTTGGCGCAA GGATTAAATAAGGGTTG	TAGAATT GTTGTAAATC	38, 39
3	fd I	CGTCTAAAGCGCTTCCCGTTTAACTG	TATTCTC TCTGAAAGGCT	38, 39
4	fd I*	GCTCTGGAAAG ACGCTGGTAAAGCTTGG	TAAGATT CAGGATAATGCT	38, 39
5	M13 VI	CATACTAATTCTCTATTGATTGTGACA	AAATAAA CTTATTCGGTGC	39, 40
6	M13 I	CTTCCTGTTTATGTTTCTCTCTCT	GIAAAGG CTGCTATTTCA	39, 40
7	M13 IV	GTTGGGGCAA GGATTAAATAAGGAGTTG	TGGAATT GTTGTAAAGTC	38, 39
8	M13 I*	GCTCTGGAAAG ACGCTGGTAAAGCTTGG	TAAGATT CAGGATAATGCT	38, 39
9	f1 VI	CATACTAATTCTCTATTGATTGTGACA	AAATAAA CTTATTCGGTGC	38, 39
10	f1 IV*	GTTGGGGCAA GGATTAAATAAGGAGTTG	TAGAATT GTTGTAAATC	38, 39
11	f1 I	CGTCTAAATGGCTTCCCGTTTATGCT	TATTCCTC TCTGAAAGGCT	38, 39
12	f1 I*	GCTCTGGAAAG ACGCTGGTAAAGCTTGG	TAAGATT CAGGATAATGCT	38, 39
13	E.coli Gly I	TCTCTCGATA TCACTGGACAATGAA	AATCAGG TAGCCGAGTTCC	73
14	E.coli P ORF II	CTACAAAGCCAT CCCCCACAGA	TACGGTA AACAGCTCTGT	23

Таблица 7. Нуклеотидные последовательности промоторов группы 6.

Номер промото-ра	Название гена	TTGFTGACAATG С С Г Т	TATAATR РТАТ	Литература
1	PBRH1 tet	CAGCTTATCAT CGATAAGCTGAATTCAGC TTAAATG CGGTAGTTTATCAC	57	
2	PBRH4 tet	CGAGGCCCTTCTGCTCTTCAAGAAC	ATTAATG CGGTAGTTTATCAC	57
3	E.coli gal S1 P8-5	TGTCAACATTTCTGCACTCTG	TGTGCTA TGGTTAATTCATAC	73
4	PBD1 trp	GGTGTGACAT TATTCCATGCAACTAGT	TAACCCA GCGTGCAGCGCGGT	89
5	PBRH2 tet	CCTTTCGTCTT CAAGAATTTCAGC	TTAAATG CGGTAGTTTATCAC	57
6	PK0617	ATTGGTCGCC GAGAAGTTACGGAGA	GTAAAAA TGAAGTTTCAAGT	50

Таким образом, представляется вероятным, что А·Т-богатая нуклеотидная последовательность существенно увеличивает эффективность промоторов лишь в том случае, если она расположена перед промотором, в непосредственной близости к сайту узнавания, и ее протяженность достаточно велика (порядка 15 п.о. и более).

3. Предшествующие промотору участки связывания РНК-полимеразы и целые структуры промоторов

С использованием программ PROM1, PROM2, PROM3 нами было исследовано наличие в предшествующей промотору области дополнительных сайтов узнавания РНК-полимеразы или целых структур промоторов.

За целую структуру промотора мы принимали совокупность структур сайтов узнавания и инициации, найденных в разделе 1, находящихся на расстоянии 12–19 п.о. друг от друга, при условии, что значение функций соответствия обобщенным структурам должно быть не ниже средних значений функций соответствия по четвертой группе промоторов. Таким образом, при исследовании использовались значения функции соответствия 0,71 (район узнавания), 0,69 (район инициации) и 0,70 (целая структура промотора). Исследование подвергался район ДНК от положения -45 до -120 ÷ -220. При этом статистической обработке были подвергнуты нуклеотидные последовательности с 23 промоторами первой группы, 26 —

второй, 56 — третьей и 25 — четвертой группы. Для этих районов ДНК были опубликованы достаточно протяженные для исследования структуры; в остальных случаях отсутствовали данные о протяженных предпромоторных структурах.

Анализ показал, что в участках, предшествующих промоторам первой и второй группы, как правило (у 97% структур), имеются целые промоторные структуры или множественные (два и более) сайты узнавания (кроме структур 1.9, где не обнаружено ни целых структур, ни сайтов узнавания с принятым уровнем значения функции соответствия, а также 1.19 и 1.31, где имеется только по одному сайту узнавания).

Среди промоторов третьей группы 25% последовательностей не имеют предшествующих целых структур промотора либо множественных сайтов узнавания, а в четвертой группе такие последовательности составляют 40%.

Таким образом, можно сказать, что предшествующие реально действующему промотору сайты узнавания РНК-полимеразы или целые промоторные структуры могут служить фактором, усиливающим эффективность промотора. Эти результаты соответствуют представлению о латеральном перемещении РНК-полимеразы при поиске промотора и о влиянии, которое оказывает локальная концентрация фермента вблизи промотора на эффективность его работы.

4. Распределение элементов симметрии второго порядка

Распределение в структуре промоторов обращенных повторов (палиндромов), в том числе несовершенных, было изучено по программе COMPL. При составлении этой программы мы учитывали обращенные повторы не короче тринуклеотидных. Обнаруженные при этом элементы симметрии второго порядка отмечены в табл. 2–5.

Лишь в редких случаях единый обращенный повтор охватывает всю структуру промотора (промоторы 2.24, 2.25, 2.23, 3.24, 3.25, 3.26, 3.27, 3.31, 3.69, 4.5, 4.6, 4.8, 4.20). Большинство же промоторов характеризуется тремя группами обращенных повторов. Первая группа таких элементов симметрии располагается в районе старта транскрипции, с центром вблизи точки старта, между положениями –12 и +3 (70% промоторов группы 1, 73% — группы 2, 72% — 3, 66% — 4). Второй обращенный повтор располагается так, что хотя бы одна из его ветвей составляет часть сайта узнавания (90% промоторов группы 1, 75% — группы 2, 85% — 3, 66% — 4). Наконец, третий обращенный повтор захватывает промежуточный участок между сайтами узнавания и инициации. При этом промоторы, в структуре которых не имеется такого элемента симметрии, как правило, содержат вместо него А·Т-богатый участок (исключения составляют промоторы 1.23, 2.6, 2.9, 3.14, 3.52, 4.9, 4.15).

Такое распределение элементов симметрий говорит о том, что их возможная роль в структуре промоторов заключается в снижении энергетического барьера разъединения нитей ДНК. Это согласуется с экспериментально обнаруженным участком с разделенными нитями ДНК в районе старта транскрипции [8], но также указывает на возможное расплетание ДНК и в других участках промотора, в особенности вблизи сайта узнавания. Следует отметить, что по всей длине промотора, помимо уже отмеченных, наблюдаются также многочисленные перекрывающиеся короткие (трехнуклеотидные) элементы симметрии. Эта особенность структуры позволяет предположить образование «скользящей шпильки» при перемещении РНК-полимеразы вдоль промотора.

Еще один обращенный повтор, как правило, содержится непосредственно за точкой старта. Центр его располагается в районе между положениями +5 и +20. Можно предположить, что указанный обращенный повтор (и/или вторичная структура 5'-концевого участка мРНК) является сигналом для диссоциации σ-субъединицы РНК-полимеразы.

Таким образом, между структурой промотора и его эффективностью нет однозначной зависимости. Промотор должен обладать минимальным

соответствием найденной обобщенной структуре (ундекануклеотид в сайте узнавания и гептануклеотид в сайте инициации, разделенные участком 12–19 п.о.), что обеспечивает минимальный уровень его эффективности. Усиливают промотор дополнительные структурные факторы: нахождение на оптимальном расстоянии за сайтом инициации и предпочтительное строение стартового трипнуклеотида (от –1 до +2), протяженный А·Т-богатый участок непосредственно перед промотором, а также предшествующие промотору сайты узнавания РНК-полимеразы и целые промоторные структуры.

ЛИТЕРАТУРА

1. Никифоров В. Г., Зограф Ю. Н. Итоги науки и техники. Молекулярная биология, 1977, т. 13.
2. Gilbert W. In: RNA polymerase / Eds Losick R., Chamberlin M. N. Y.: Acad. Press, 1976, p. 193–205.
3. Pribnow D. Proc. Nat. Acad. Sci. USA, 1975, v. 72, № 3, p. 784–788.
4. Seuberg P. H., Nusslein C., Schaller H. Eur. J. Biochem., 1977, v. 74, № 1, p. 107–113.
5. Scherer G. E. F., Walkinshaw M. D., Arnott S. Nucl. Acids Res., 1978, v. 5, № 10, p. 3759–3773.
6. Siebenlist U. Nucl. Acids Res., 1979, v. 6, № 5, p. 1895–1907.
7. Rosenberg M., Court D. Ann. Rev. Genet., 1979, v. 13, p. 319–353.
8. Siebenlist U., Simpson R. B., Gilbert W. Cell, 1980, v. 20, № 2, p. 268–281.
9. Johnsrud L. Proc. Nat. Acad. Sci. USA, 1978, v. 75, № 11, p. 5314–5318.
10. Simpson R. B. Cell, 1979, v. 18, № 2, p. 277–285.
11. Von Gabain A., Bujard H. Proc. Nat. Acad. Sci. USA, 1979, v. 76, № 1, p. 189–193.
12. Stuber D., Bujard H. Proc. Nat. Acad. Sci. USA, 1981, v. 78, № 1, p. 167–171.
13. Bujard H., Niemann A., Breunig K., Roisch U., Dresel A., von Cabain A., Gentz R., Stuber D., Weiher H. In: Promoter Structure and Function / Eds Rodriguez R., Chamberlin M. N. Y.: Prager Press, 1982.
14. Шатский Н. Н. В кн.: Итоги науки и техники. Сер. Биоорганическая химия, т. 15, Структура и функции рибосом. М., ВИНИТИ, 1981, с. 3–37.
15. Vollenweider H. J., Fiandt M., Szybalski W. Science, 1979, v. 205, № 4405, p. 508–511.
16. Lund E., Dalberg J. E. Proc. Nat. Acad. Sci. USA, 1979, v. 76, № 11, p. 5480–5484.
17. Dunn J. J., Studier F. W. J. Mol. Biol., 1981, v. 148, № 4, p. 303–330.
18. McConnell D. J. Nucl. Acids Res., 1979, v. 6, № 11, p. 3491–3503.
19. Siebenlist U. Nucl. Acids Res., 1979, v. 6, № 5, p. 1895–1907.
20. Young R. A., Steitz J. A. Cell, 1979, v. 18, № 1, p. 225–234.
21. De Boer H. A., Gilbert S. F., Nomura M. Cell, 1979, v. 17, № 1, p. 201–209.
22. Csordas-Toth E., Boros I., Venetianer P. Nucl. Acids Res., 1979, v. 7, № 8, p. 2189–2197.
23. Brosius J., Dull T. J., Sleeter D. D., Noller H. F. J. Mol. Biol., 1981, v. 148, № 2, p. 107–127.
24. Sutcliffe J. G. C. S. H. Symp. Quant. Biol., 1978, v. 43, p. 77–90.
25. Коробко В. Г., Добрынин В. Н., Чувапило С. А., Северцова И. В., Шингарова Л. Н., Колесов М. Н. Биоорган. химия, 1981, т. 7, № 2, с. 309–312.
26. Yoshikawa H., Friedmann T., Ito J. Proc. Nat. Acad. Sci. USA, 1981, v. 78, № 3, p. 1336–1340.
27. Horn G. T., Wells R. D. J. Biol. Chem., 1981, v. 256, № 4, p. 1998–2002.
28. Schwarz E., Scherer G., Hobom G., Kossel H. Nature, 1978, v. 272, № 5644, p. 410–428.
29. Maniatis T., Ptashne M., Barrell B. G., Donelson J. Nature, 1974, v. 250, № 5465, p. 394–397.
30. Heffron F., McGarthy B. J., Ohtsubo H., Ohtsubo E. Cell, 1979, v. 18, № 4, p. 1153–1163.
31. Backman K., Betlach M., Boyer H. W., Yanofsky S. C. S. H. Symp. Quant. Biol., 1978, v. 43, p. 69–76.
32. Hashimoto-Gotoh T., Timmis K. N. Cell, 1981, v. 23, № 1, p. 229–238.
33. Meyer B. J., Kleid D. G., Ptashne M. Proc. Nat. Acad. Sci. USA, 1975, v. 72, № 12, p. 4785–4789.
34. Grosschedl R., Schwarz E. Nucl. Acids Res., 1979, v. 6, № 3, p. 867–881.
35. Ovchinnikov Yu. A., Guryev S. O., Krayev A. S., Monastyrskaia G. S., Skryabin K. G., Sverdlov E. D., Zakharjev V. M., Bayev A. A. Gene, 1979, v. 6, № 3, p. 235–249.
36. Sanger F., Coulson A. R., Friedmann T., Air G. M., Barrell B. G., Brown N. L., Fiddes J. C.; Hutchison III C. A., Stoccombe P. M., Smith M. J. Mol. Biol., 1978, v. 125, № 2, p. 225–246.
37. Godson G. N., Barrell B. G., Staden R., Eiddes J. C. Nature, 1978, v. 276, № 5685, p. 236–247.
38. Schaller H., Beck E., Takanami M. In: The Single-Stranded DNA Phages, Cold Spring Harbor, 1978, p. 139–163.
39. Beck E., Zink B. Gene, 1981, v. 16, № 1, p. 35–58.

40. Wezenbeek P. M. G. F., Hulsebos T. J. M., Schoenmakers J. G. G. Gene, 1980, v. 11, № 1/2, p. 129–148.
41. Коробко В. Г., Добринин В. Н., Северцова Н. В., Чувшило С. А., Шингарова Л. Н., Колесов М. Н. Биоорганическая химия, 1980, т. 6, № 11, с. 1743–1745.
42. Movva N. R., Nakamura K., Inouye M. J. Mol. Biol., 1980, v. 143, № 3, p. 317–328.
43. Resnikoff W. S., Abelson J. N. In: The Operon / Eds Miller J. H., Resnikoff W. S. Cold Spring Harbor, 1978, p. 221–243.
44. Dickson R. S., Abelson J., Barnes W. M., Reznikoff W. S. Science, 1975, v. 187, № 4171, p. 27–35.
45. Nakamura K., Inouye M. Cell, 1979, v. 18, № 4, p. 1109–1117.
46. Yamagata H., Nakamura K., Inouye M. J. Biol. Chem., 1981, v. 256, № 5, p. 2194–2198.
47. Berman M. L., Landy A. Proc. Nat. Acad. Sci. USA, 1979, v. 76, № 9, p. 4303–4307.
48. Duester G., Campen R. K., Holmes W. M. Nucl. Acids Res., 1981, v. 9, № 9, p. 2121–2139.
49. Van den Berg E., Zwetslott J., Noordermeer I., Pannekoek H., Dekker B., Dijkema R., van Ormondt H. Nucl. Acids Res., 1981, v. 9, № 21, p. 5623–5643.
50. Miura A., Klueger J. H., Itoh S., de Boer H. A., Nomura M. Cell, 1981, v. 25, № 3, p. 773–782.
51. Culos M. P., Miller J. H. Mol. Gen. Genet., 1981, v. 183, № 3, p. 559–560.
52. Rosenberg M., Court D., Shimatake H., Brady C., Wulff D. In: The Operon / Eds Miller J. H., Reznikoff W. S. Cold Spring Harbor, 1978, p. 345–354.
53. Mozola M. A., Friedman D. I., Crawford C. L., Wulff D. L., Shimatake H., Rosenberg M. Proc. Nat. Acad. Sci. USA, 1979, v. 76, № 6, p. 1122–1125.
54. Smith G. R., Eisen H., Reichardt L., Hedgpeth J. Proc. Nat. Acad. Sci. USA, 1976, v. 73, № 3, p. 712–716.
55. Schmeissner U., Court D., Shimatake H., Rosenberg M. Proc. Nat. Acad. Sci. USA, 1980, v. 77, № 6, p. 3191–3195.
56. Patient R. K. Nucl. Acids Res., 1979, v. 6, № 8, p. 2647–2665.
57. Rodriguez R. L., West R. W., Hegneker H. L., Bolivar P., Boger H. W. Nucl. Acids Res., 1979, v. 6, № 10, p. 3267–3287.
58. Grindley N. D. F., Joyce C. M. Proc. Nat. Acad. Sci. USA, 1980, v. 77, № 12, p. 7176–7180.
59. Post L. E., Strycharz G. D., Nomura M., Lewis H., Dennis P. P. Proc. Nat. Acad. Sci. USA, 1979, v. 76, № 4, p. 1697–1701.
60. Horwitz A. H., Morandi C., Wilcox G. J. Bacteriol., 1980, v. 142, № 2, p. 659–667.
61. Ogden S., Haggerly D., Stoner C. M., Kolodrubetz D., Schleif R. Proc. Nat. Acad. Sci. USA, 1980, v. 77, № 6, p. 3346–3350.
62. Sancar A., Stachelek C., Konigsberg W., Rupp W. D. Proc. Nat. Acad. Sci. USA, 1980, v. 77, № 5, p. 2611–2615.
63. Post L. E., Arfsten A. E., Reusser F., Nomura M. Cell, 1978, v. 15, № 2, p. 215–229.
64. Post L. E., Nomura M. J. Biol. Chem., 1980, v. 255, № 10, p. 4660–4666.
65. Post L. E., Arfsten A. E., Davis G. R., Nomura M. J. Biol. Chem., 1980, v. 255, № 10, p. 4653–4659.
66. Gonsalus R. P., Yanofsky Ch. Proc. Nat. Acad. Sci. USA, 1980, v. 77, № 12, p. 7117–7121.
67. Horii I., Ogawa I., Ogawa H. Cell, 1981, v. 23, № 3, p. 689–697.
68. Miki T., Ebina Y., Kishi F., Nakazawa A. Nucl. Acids Res., 1981, v. 9, № 3, p. 529–543.
69. Markham B. E., Little J. W., Mount D. W. Nucl. Acids Res., 1981, v. 9, № 16, p. 4149–4161.
70. Miozzari G. F., Yanofsky C. Proc. Nat. Acad. Sci. USA, 1978, v. 75, № 11, p. 5580–5584.
71. McConnell D. J. Nucl. Acids Res., 1979, v. 6, № 2, p. 525–544.
72. Lee F., Bertrand K., Bennett G., Yanofsky C. J. Mol. Biol., 1978, v. 121, № 2, p. 193–217.
73. Musso R. E., di Lauro R., Adhya S., Crombrugghe R. Cell, 1977, v. 12, № 3, p. 847–854.
74. Ann G., Friesen J. D. Gene, 1980, v. 12, № 1/2, p. 33–39.
75. Wallace R. G., Lee N., Fowler A. V. Gene, 1980, v. 12, № 3/4, p. 179–190.
76. Verde P., Frunzio R., di Nocera P. P., Blast F., Bduni C. B. Nucl. Acids Res., 1981, v. 9, № 9, p. 2075–2086.
77. Kikuchi Y., Yoda K., Yamasaki M., Tamura G. Nucl. Acid. Res., 1981, v. 9, № 21, p. 5673–5678.
78. Horwitz A. H., Heffernan L., Morandi C., Lee J.-H., Timko J., Wilcox G. Gene, 1981, v. 14, № 4, p. 309–319.
79. Dunn R. J., Belugaje R., Brown E. L., Khorana H. G. J. Biol. Chem., 1981, v. 256, № 12, p. 6109–6118.
80. Gay N. J., Walker J. E. Nucl. Acids Res., 1981, v. 9, № 16, p. 3919–3926.
81. Ann G., Bendiak D. S., Mamelak L. A., Friesen J. D. Nucl. Acids Res., 1981, v. 9, № 16, p. 4163–4172.
82. Prentki P., Karch E., Iida S., Meyer J. Gene, 1981, v. 14, № 4, p. 289–299.
83. Pirrotta V., Ineichen K., Walz A. Mol. Gen. Genet., 1980, v. 180, p. 369–376.
84. Ebina Y., Kishi F., Miki T., Kagamiyama H., Nakazawa T., Nakazawa A. Gene, 1981, v. 15, № 2, p. 119–126.

85. Abraham J., Mascarenhas D., Fischer R., Benedik M., Campbell A., Echols H. Proc. Nat. Acad. Sci. USA, 1980, v. 77, № 5, p. 2477–2481.
86. Musso R. E., di Lauro R., Rosenberg M., Crombrugghe B. Proc. Nat. Acad. Sci. USA, 1976, v. 74, № 1, p. 106–110.
87. Calos M. Nature, 1978, v. 274, № 5673, p. 762–765.
88. Post L. E., Arfsten A. E., Momura M., Jaskunas S. R. Cell, 1978, v. 15, № 1, p. 231–236.
89. Oppenheim D. S., Yanofsky Ch. J. Mol. Biol., 1980, v. 144, № 2, p. 143–161.

Поступила в редакцию
21.I.1983

STATISTIC ANALYSIS OF A PROCARYOTIC PROMOTER NUCLEOTIDE SEQUENCE
STRUCTURAL ELEMENTS UNDERLYING THE EFFICIENCY OF THE
TRANSCRIPTION
INITIATION STAGES

ARTEMIYEV I. V., VASILYEV G. V., GUREVICH A. I.

*M. M. Shemyakin Institute of Bioorganic Chemistry, Academy of Sciences
of the USSR, Moscow*

Nucleotide sequences of 188 promoter-containing DNA regions have been studied by the computer statistic analysis. Undecanucleotide NTT(G/C)TTGACA(A/T) or (G/C)-TT(G/C)A(G/C)A(A/T)TT(G/T) (recognition site) and heptanucleotide RTATATR or TATAATR (initiation site) separated by 12–19 base pairs are characteristic of a «generalized» promoter structure. Promoters can function if a minimal level of correspondence for their recognition and initiation sites to a generalized structure is attained (the correspondence function value for the whole structure is not lower than 0.61; for the most effective promoters it may be equal to 1). The transcription start is situated 3–9 base pairs after initiation site, 4–7 pairs distance being the most effective. Transcription can start from any nucleotide, preferably with A or G. The start from A is the most effective if it is contained within the CAC or CAT trinucleotides. The promoter efficiency is enhanced by some additional structural factors: the presence of an extended A-T rich region directly before the recognition site; availability of integral promoter structures or several RNA polymerase binding sites in the preceding nucleotide sequence. A characteristic feature of the promoter is the presence of either the dyadic axial symmetry elements in the initiation and recognition sites as well as in the intermediate region, or the A-T rich area in the latter.